

ДВОЙНОЕ ДИФФЕРЕНЦИАЛЬНОЕ СЕЧЕНИЕ ВЗАИМОДЕЙСТВИЯ
НУКЛОНОВ С ЯДРАМИ

А. В. Елпилинский

УДК 539.171

В работе предложено аналитическое выражение двойного дифференциального сечения, пригодное для использования при расчете защиты в диапазоне средних энергий.

Полные сечения были представлены в виде суммы парциальных сечений, соответствующих различным механизмам взаимодействия нуклона с ядром: дифракционное рассеяние, квазипротонное рассеяние и каскадный процесс. Остальными типами взаимодействия пренебрегалось, так как или их вклад в указанном диапазоне энергий мал, или их роль при расчете защиты не определяющая.

В случае образования вторичных протонов при облучении ядер протонами ($p\alpha \rightarrow p$ взаимодействие) вклад каждого типа взаимодействия и отсутствующие в литературе характеристики были найдены путем анализа имеющегося экспериментального материала /1,2,3/ для ядер C, Si и U при энергии протонов 160, 360 и 660 Мэв. Все элементы расчета двойного дифференциального сечения представлены в виде аналитических выражений. Численные параметры в эмпирических формулах найдены методом наименьших квадратов. Приведенные выражения*) справедливы для энергий вторичных нуклонов ≥ 50 Мэв. Экспериментальные данные по полному интегральному сечению, собранные в работе /4/ для интервала энергий 100-700 Мэв, с точностью $\pm 5\%$ описываются выражением:

$$\sigma^{tot} = 2\pi R^2 \left(1 - \frac{15}{\sqrt{A}} \right) \left[0,5 + \frac{55}{E_0 - 50} + 10^{-3} E_0 (1 - 0,03 A^{1/3}) \right], \quad (I)$$

*)

Используются обозначения: E - энергия, Мэв; θ - угол вылета в лабораторной системе координат, радиан, и A - атомный вес ядра-мишени.

где $R = 1,2 \cdot 10^{-13}$ (см) $\text{A}^{1/3}$. Для сечений дифракционного рассеяния использовались известные из литературы /4/ выражения. Значение коэффициента прозрачности $a = 0,9 \cdot \text{A}^{-1/4}$ было найдено по данным эксперимента /3/ для 660 Мэв и использовано во всем диапазоне энергий. Доли участия основных механизмов с точностью $\pm 20\%$ определяются выражением:

$$\epsilon_{pA \rightarrow p} = \frac{\sigma_{\text{casc}}}{\sigma_{\text{qel}}} = 6,8 \cdot 10^{-4} (E_0 + 590) A^{1/6}. \quad (2)$$

При квазиупругом рассеянии нуклонов на всех ядрах угловое распределение вторичных нуклонов отождествлялось с распределением за счет рассеяний (p,p) и (p,n) на свободных нуклонах в ядре. Для простейшего случая равенства числа протонов и нейтронов в ядре использование данных /5/ о дифференциальных сечениях взаимодействий (p,p) и (p,n) с точностью $\pm 15\%$ приводит к выражению:

$$\left(\frac{d\sigma}{d\Omega} \right)_{\text{qel}} = \sigma_{\text{qel}} \{ C \exp(-\alpha\theta) + D \sin(2\theta + \varphi) \}, \quad (3)$$

где при 160 Мэв $\leq E_0 \leq 660$ Мэв:

$$C = 0,75 + 1,2 \cdot 10^3 (E_0 - 160) \text{ стер}^{-1}$$

$$\alpha = 2,9 + 9,2 \cdot 10^{-4} (E_0 - 160) \text{ рад}^{-1}$$

$$D = 0,1 - 2,4 \cdot 10^5 (E_0 - 160) \text{ стер}^{-1}$$

$$\varphi = -0,52 - 1,4 \cdot 10^{-3} (E_0 - 160) \text{ рад.}$$

Спектр энергий вторичных протонов, образовавшихся в результате квазиупругого рассеяния, принимался в виде гауссовой кривой

$$\left(\frac{d^2\sigma}{d\Omega dE} \right)_{\text{qel}} = \frac{1}{\sqrt{2\pi}\Delta_q} \left(\frac{d\sigma}{d\Omega} \right)_q \exp \left\{ - \frac{(E - \bar{E}_q)^2}{2\Delta_q^2} \right\}, \quad (4)$$

где $\bar{E}_q = E_0 (1,05 - 0,615 \cdot \theta)$, $\Delta_q = 0,183 E_0 \theta$.

Экспериментальные данные /4/ свидетельствуют об экспоненциальной форме углового распределения вторичных протонов, возникших в результате каскадного процесса. Распространяя известные

данные на весь диапазон средних энергий и интерполируя найденные из эксперимента значения параметра для промежуточных величин атомных весов, была найдена общая зависимость:

$$\left(\frac{d\sigma}{d\Omega}\right)_{casc} = \frac{\sigma_c(1+b^2)}{2\pi[1+\exp(-b\vartheta)]} \exp(-b\vartheta), \quad (5)$$

где $b = 3,8 - 6,3 \cdot 10^{-3}$ А рад⁻¹. Для произвольного атомного веса ядра в интервале средних энергий спектр каскадных протонов удалось представить только как сумму двух пиков. Форма обоих пиков удовлетворительно описывается гауссовскими кривыми. Относительный вклад каждого пика в спектр и определяющие их параметры находились путем подбора, обеспечивающего наилучшее описание всего экспериментального материала. Точность порядка ±20% достигается применением следующих выражений:

$$\left(\frac{d^2\sigma}{d\Omega dE}\right)_{casc} = \frac{\left(\frac{d\sigma}{d\Omega}\right)_c}{V2\pi} \left\{ \frac{\exp\left[-\frac{(E-\bar{E}_1)^2}{2\Delta_1^2}\right]}{\Delta_1 \left(1 + \frac{A^{1/3} E_0^{3/2}}{9,4 \cdot 10^3}\right)} + \frac{\exp\left[-\frac{(E-\bar{E}_2)^2}{2\Delta_2^2}\right]}{\Delta_2 f \left(1 + \frac{A^{1/3} E_0^{3/2}}{9,4 \cdot 10^3}\right)} \right\}, \quad (6)$$

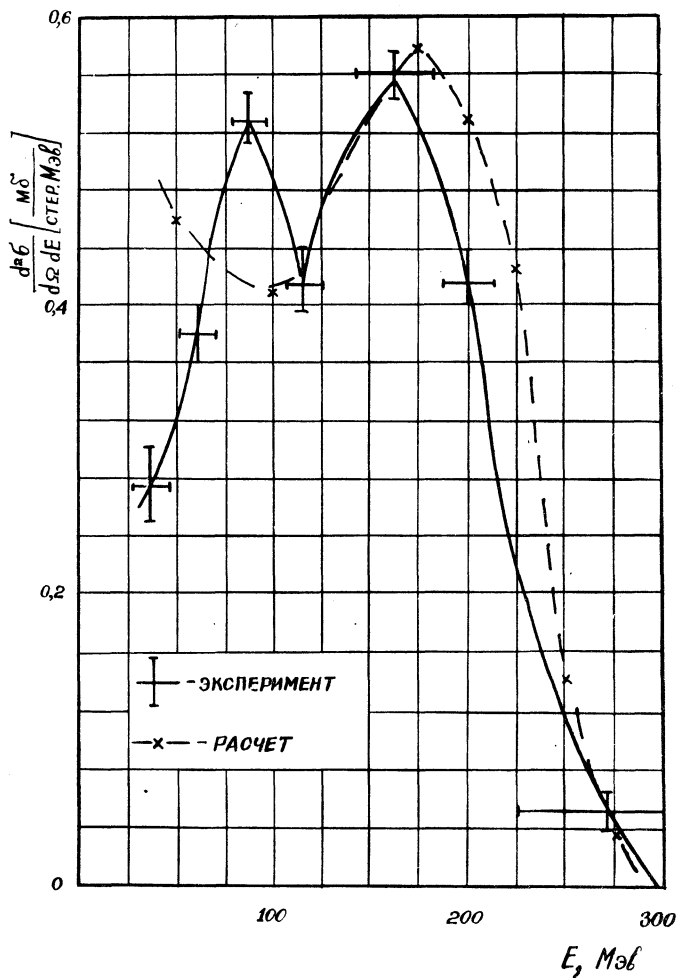
где $\bar{E}_1 = E_0(0,914 - 0,739)$, $\Delta_1 = E_0(0,06 + 4,3 \cdot 10^{-2}\vartheta)$,

$$\bar{E}_2 = E_0[0,79 - 4,3 \cdot 10^{-4} E_0(1 + 1,9 \cdot 10^{-3} A) - 0,739],$$

$$\Delta_2 = E_0[1,62 \cdot 10^{-3} E_0^{3/4} + 4,3 \cdot 10^{-2}\vartheta].$$

Коэффициент f учитывает долю второго пика, обрезаемую порогом $E = 50$ МэВ.

О взаимодействии нейтронов с ядрами и по вторичным нейtronам в литературе /4/ имеются обрывочные сведения. Поэтому для общего типа $1A \rightarrow j$ взаимодействия нуклонов с ядрами возможно только приближенное построение двойных дифференциальных сечений. Учитывая отношение сечений взаимодействий (n,p) и (p,p) на свободных нуклонах и множественность образования различного типа нуклонов в результате каскадного процесса, отношение выходов двух ведущих механизмов взаимодействия записывалось в виде



Р и с. I. Спектр протонов под углом 40° при облучении Al протонами с энергией 300 МэВ. Сплошная кривая – экспериментальные данные /2/, пунктир – расчет

$$\begin{aligned}\epsilon_{nA \rightarrow n} &= 0,36A^{1/4} \left[1 + 6,5 \cdot 10^{-4} (E_0 - 100) \right] \frac{0,1E_0^{1/3} + \frac{(A-Z)}{Z}}{1 + 0,1E_0^{1/3} \frac{(A-Z)}{Z}} \epsilon_{pA \rightarrow p}; \\ \epsilon_{pA \rightarrow n} &= 0,26A^{1/4} \left[1 + 6,5 \cdot 10^{-4} (E_0 - 100) \right] \left(1 + 0,1E_0^{1/3} \frac{Z}{A-Z} \right) \epsilon_{pA \rightarrow p}; \\ \epsilon_{nA \rightarrow p} &= 0,7 \left[0,1E_0^{1/3} + \frac{(A-Z)}{Z} \right] \epsilon_{pA \rightarrow p}. \end{aligned} \quad (7)$$

В случае взаимодействий $pA \rightarrow p$ и $nA \rightarrow p$ угловые распределения в результате квазиупрого рассеяния отождествлялись с дифференциальным сечением для рассеяния p, n на свободных нуклонах. Оно удовлетворительно описывается выражением:

$$\left| \frac{d\sigma}{d\Omega} \right|_{pn} = C \exp(-\alpha\theta) + D \sin(4\theta + \varphi) + \delta, \quad (8)$$

где при $160 \text{ МэВ} \leq E_0 \leq 660 \text{ МэВ}$

$$\begin{aligned}C &= 0,8 \left[1 + 10^{-3} (E_0 - 160) \right] \text{стер}^{-1}; \quad \alpha = 3,2 \text{ рад}^{-1}; \quad D = 0,06 \text{ стер}^{-1}; \\ \delta &= 0,075 - 5 \cdot 10^{-5} (E_0 - 160) \text{ стер}^{-1} \quad \varphi = -3 - 2,1 \cdot 10^3 (E_0 - 160) \text{ рад}. \end{aligned}$$

Экспериментально найдено /4/, что и для каскадного процесса, и для квазиупрого рассеяния формы спектров всех типов взаимодействий неразличимы. Поэтому для произвольного типа взаимодействия нуклонов с ядрами нахождение интегральных и дифференциальных сечений сводится к алгоритму, найденному для взаимодействия $pA \rightarrow p$ при использовании выражений (7) и (8).

Спектр, найденный с помощью приведенных формул, сравнивается на рисунке с экспериментальным. Серия подобных сравнений свидетельствует о том, что предлагаемый алгоритм описывает двойные дифференциальные сечения для взаимодействия $pA \rightarrow p$ с точностью порядка 20%.

Институт ядерных исследований АН СССР

Поступила в редакцию
17 мая 1976 г.

Л и т е р а т у р а

1. N. S. Woll, P. R. Roos. Phys. Rev., 150, 811 (1969).
2. W. H. Hess, B. J. Moyer. Phys. Rev., 101, 337 (1956).
3. А. С. Ахгирей и др. ЖЭТФ, 36, 1631 (1959).
4. В. С. Барашенков, В. Д. Тонеев. Взаимодействия высокозенергетических частиц и атомных ядер с ядрами. М., 1972 г.
5. W. H. Hess. Rev. Mod. Phys., 20, 368 (1950).